

## IV - 6.3 コンクリートの粘弾性と骨材粒度との相互依存について

防衛大学校土木工学教室 正員 工博 静法寺 朝美  
防衛大学校土木工学教室 正員 ○ 加藤 清志

1 概要 セメント・モルタルまたはコンクリートにおいて、細粗骨材とベーストとの弾性係数の大きさには一般にかなりの差異が認められるものであるが(図-1 参照)、この点に着目しコンクリートと粗骨材との容積比と、それぞれの Secant modulus との関係を Structural modelに基づいて考察し、さらに内部構造によつて材料の非弾性効果を Mechanical model を設定して、いかにコンクリートの諸性質が影響されるかを研究するものである。

2 Structural model と骨材容積比  $E_a, E_m$  をそれぞれ骨材、モルタルの弾性係数また  $c$  をコンクリート中に占める粗骨材の容積比とする。図-2は均質材料の成層組合せが荷重方向に対して、series-parallel の配列を示す。

図-2 から、 $\frac{1}{E_c} = (1-A) \left[ \frac{c}{E_a} + \frac{1-c}{E_m} \right] + A \left[ \frac{1}{cE_a - (1-c)E_m} \right]$  ここでコンクリートは一般に巨視的に isotropy と考えられるから  $A = \frac{1}{2}$  である。ここで modular ratio を  $m_1 = E_a/E_m, m_2 = E_c/E_m$  とし、 $m_1 - 1 = \varphi$  として  $c$  を求めると  $c = \frac{[-(2m_2 - 1) + \sqrt{(2m_2 - 1)^2 + 8(m_1 - m_2)}]}{2\varphi}$  ①表-1に示した粒度の粗骨材を用い、 $W/C = 55\%, S/A = 37\%, G/S = 17.0$ 。

単位セメント量を 302 kg の配合とし、91日強度時の諸種の値を表-1に示した。①式および配合設計時のそれぞれの  $c$  を  $c_s, c_p$  とし粗骨材最大寸法および粒度との関係は図-3、図-4、図-5のようになる。図-3から同一  $c_p$  であつても骨材の最大寸法によつて容積比  $c$  は変化する。ゆえに  $|c_p - c_s| = 40$  が粒径に影響されていると考えられる。さらに図-4、5において同一の

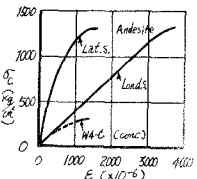


図-1

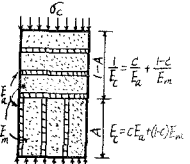


図-2



図-3

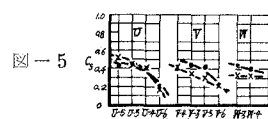
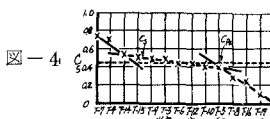


表-1

粒度	T															U				V				W			
	3	4	5	6	7	8	9	10	11	12	13	14	15	16	17	3	4	5	6	3	4	5	6	3	4	5	6
50~40	25	32	37	37	30	45	56	42	56	42	50	11.1	6.7	9.1	9.1												
40~30	22.5	—	28.8	33.5	27.3	—	—	—	50.0	37.5	45.0	—	—	—	81.8	18	40	29	24.0								
30~25	22.5	28.8	—	33.5	27.3	—	50.0	37.5	—	—	45.0	—	—	81.8	—	0.7	1.6	1.1	9.3								
25~20	22.5	28.8	—	33.5	27.3	—	50.0	37.5	—	—	45.0	—	—	81.8	—	27.5	—	44.0	—	5.0	11.8	7.4	5.0				
20~15	32.5	42.4	42.4	—	39.4	59.1	—	54.2	—	54.2	—	38.7	—	38.7	—	27.5	—	44.0	—	57.5	—	85.2	—	5.0	9.5		
15~10	32.5	42.4	42.4	—	39.4	59.1	—	54.2	—	54.2	—	38.7	—	38.7	—	12.5	27.8	—	—	57.5	—	85.2	—	40.0	76.2		
10~5	17.5	22.4	22.4	25.9	—	31.8	38.9	—	38.9	—	—	77.8	—	—	—	25.0	55.6	—	—	32.5	76.4	—	—	47.5	—		
5~0	2.5	3.2	3.2	3.7	3.0	4.5	5.6	4.2	5.6	4.2	5.0	11.1	6.7	9.1	9.1	5.0	11.0	8.0	8.0	50	11.8	7.4	5.0	9.5	14.5		
$C_s$	0.48	0.71	0.39	0.44	0.73	0.28	0.50	0.40	0.39	0.43	0.39	0.55	0.51	0.23	0.09	0.45	0.42	0.52	0.13	0.35	0.42	0.30	0.22	0.35	0.35		
$E_a(\text{kg/cm}^2)$	325	348	205	211	286	187	229	209	206	215	206	234	231	178	154	219	214	235	162	208	212	190	177	202	196		
$E_m(\text{kg/cm}^2)$	315	494	284	289	400	312	312	337	300	287	533	342	312	287	287	342	362	362	357	308	317	312	342	350	325		

骨材最大寸法を用いたコンクリートにおいても粒度によって極めて影響されていることがわかる。ここで Baker, A.L.L. によるコンクリート構造に関する lattice system によつて考察を進めると、外力は骨材粒子の相互作用および骨材粒子間のモルタルに働く direct thrust により伝達されるのであるから図-6(a)の骨材間の void にモルタルが満されている場合と(b)のように void のモルタル中に、さらに小径の骨材が填充されている場合とでは後者の方が、応力を強度の大きい骨材(図-1 参照)で受け持つことになり細骨粒を適度に混じて必要である。

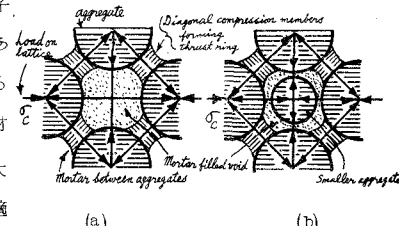


図-6

3 Mechanical model と粒度 前述の  $c_s$  を用い Retardation time  $T$  および Relaxation time  $T_m$  並びに Coefficient of viscosity  $\eta_m$  を求め、骨材最大寸法および  $c_s$  との関係は図-8、図-9 のようになる。但し Mechanical model は図-7 に示す。

前節の容積比  $c$  の概念を導入した模型方程式は次のように表わされる。

$$\sigma = \sigma_k \cdot t = C E_a \epsilon + (1-C) E_m e^{-\frac{t}{T_m}} \left( \int_0^t \epsilon_0 T_m \dot{\epsilon} dt \right), \dot{\epsilon} + \frac{1}{T} \epsilon = \epsilon_k (1 + \frac{t}{T}) \text{ 但し } T = \eta_m \left( \frac{1-C}{C} \frac{1}{E_a} - \frac{1}{E_m} \right)$$

$$T_m = \eta_m / E_m, \epsilon_k = \frac{\sigma_k}{C E_a - (1-C) E_m}$$

$$\lambda = \frac{1-C}{C} \frac{E_m}{E_a} \text{ とすれば } \epsilon = (1+\lambda) \epsilon_k \left[ t - \lambda T_m (1 - \exp(-\frac{t}{T})) \right] \quad (2)$$

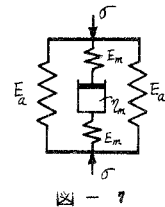


図-7

図-8 から標準粒度において粗骨材最大寸法が大きくなるに従つて、 $\eta_m, T_m, T$  は共に対数的に減少し、また図-9 から粗骨材比  $c_s$  が減少すれば、 $\eta_m, T_m, T$  は共に直線的に増大する。さらに骨材最大寸法および骨材使用量を一定にし、粒度を変化させた場合の  $\eta_m, T_m, T$  は、図-10 のようになり明らかに粒度の影響を受け、中間径以下の粗骨材の過少な粒度の配合をもつコンクリート程、長い緩和時間をもつ。この事実は A.M.Freudenthal も述べている様に、セメント量の多いコンクリートは本質的には粘弾性材料の如く挙動し、集合体(この場合粗骨材)が多い程、粘性や、凝集力の影響が少なく、内部摩擦の効果が大となるという概念と一致する。なお  $\sigma = \sigma_k \cdot t$  なる圧縮力を加えた時に生ずる歪  $\epsilon$  は次式で表わされる。

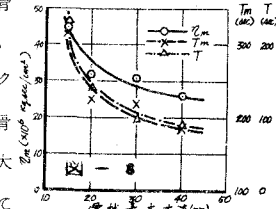
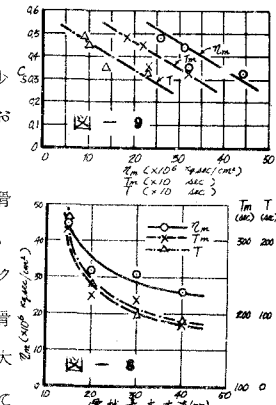
$$T = 8 : \epsilon = 16.5(t-12)(1-\epsilon)^{-0.001t} \times 10^6$$

$$U = 8 : \epsilon = 17.5(t-77)(1-\epsilon)^{-0.0008t} \times 10^6$$

$$V = 8 : \epsilon = 22.2(t-14)(1-\epsilon)^{-0.0007t} \times 10^6$$

$$W = 8 : \epsilon = 22.9(t-21.5)(1-\epsilon)^{-0.0005t} \times 10^6$$

#### 4 参考文献



"Modulus of Elasticity of Concrete affected by Elastic Moduli of Cement Paste Matrix and Aggregate" : By Teddy J. Hirsch, Mar. 1962 ACI, "Creep Mechanism in Cement Mortar" : By Joseph Glucklich and Ori Ishai July 1962 ACI

あとがき 本実験に協力を戴いた本学勤務 角井正氏に篤く感謝の意を表するものである。